

К ПРИМЕНЕНИЮ ДВУХРЯДНЫХ ШТЫРЕВЫХ ГРЕБЕНОК В БЕЗЖЕЛЕЗНЫХ ВОЛНОВОДНЫХ СИНХРОТРОНАХ

П. И. ГОСЬКОВ

Как показано в [1], в качестве ускоряющей системы безжелезного волноводного синхротрона наиболее целесообразно использовать двухрядную штыревую замедляющую структуру, располагая ее непосредственно на одной из токоведущих шин, т. е. в этом случае штыри с шириной

будут представлять единое целое (рис. 1). В этом случае замедляющая структура не будет полностью заэкранирована: будут иметься боковые зазоры (рис. 1). Естественно, что этот факт в какой-то степени скажется на электродинамических свойствах двухрядных штыревых гребенок.

Для выяснения влияния указанного фактора на электродинамику штыревых гребенок были исследованы свойства двух экспериментальных образцов: I — система из полностью заэкранированной двухрядной штыревой гребенчатой структуры, которая в обозначениях работы [2] имела следующие геометрические размеры: $a = 20 \text{ мм}$, $b = 5 \text{ мм}$, $v = -65 \text{ мм}$, $h = 15 \text{ мм}$, $g = 5 \text{ мм}$,

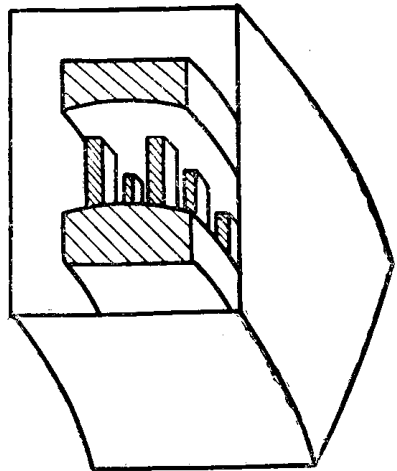


Рис. 1. Ускоряющая система безжелезного волноводного синхротрона на основе двухрядных штыревых гребенок

$p = 40 \text{ мм}$, $q = 20 \text{ мм}$; II — замедляющая структура с теми же размерами, но не полностью заэкранированная, так как между верхними и боковыми сторонами волновода был зазор в 40 мм . Последний вариант соответствовал системе, изображенной на рис. 1. При этом расстояние от штырей до края токоведущей шины равнялось 25 мм , т. е. ширина шин составляла 80 мм .

Резонансный объем в системах I и II создавался с помощью сплошных металлических закороток, проходящих в плоскостях зеркальной симметрии посредине между двумя соседними штырями.

Из рис. 2, на котором приведены экспериментальные дисперсионные кривые синфазной волны обеих систем следует, что наличие боко-

вых зазоров сдвигает полосу пропускания в область длинных волн, причем влияние зазора несколько сильнее в режимах $\Psi \rightarrow 0$. Полоса пропускания при этом увеличилась менее чем на 15%.

Для системы 1 при $\Psi = \frac{2\pi}{3}$ было рассчитано значение λ с по-

мощью выражений для концевых емкостей двухрядных штыревых гребенок и соответствующих волновых проводимостей, приведенных в [3]. Теоретическое значение длины волны равнялось $\lambda = 12,2 \text{ см}$, что составляло расхождение с экспериментом менее 0,2%.

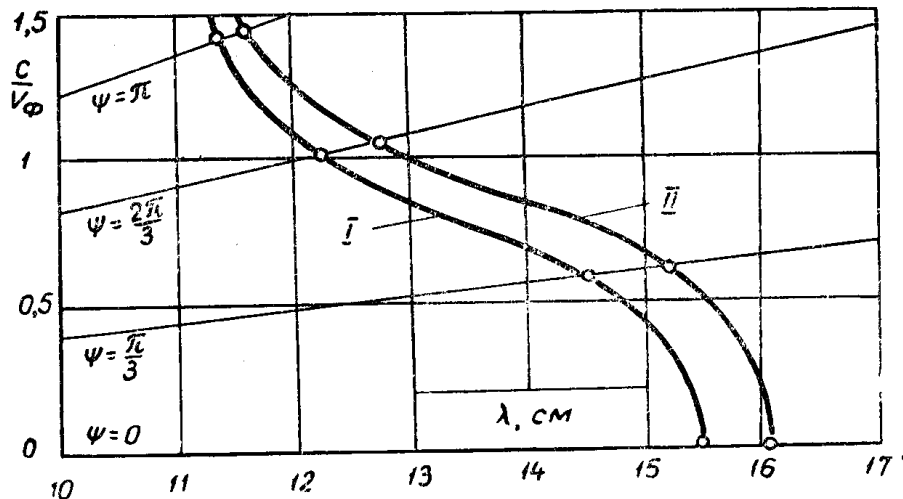


Рис. 2. Дисперсионные кривые штыревых гребенок

Таким образом, так как сдвиг λ из-за наличия боковых зазоров составляет менее 4,5%, то полученные экспериментальные данные говорят о том, что дисперсионные свойства ускоряющих систем безжелезных синхротронов на основе двухрядных штыревых гребенок (рис. 1) вполне можно рассчитывать с помощью выражений, приведенных в [3], поскольку расхождение с экспериментом при этом не будет

$$\text{превышать } 5\% \quad \frac{c}{V_\Phi} \approx 1$$

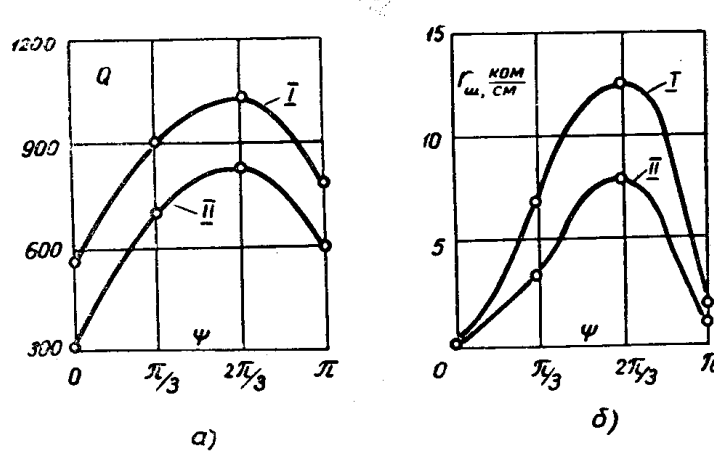


Рис. 3. Зависимости Q и r_{sh} от Ψ

На рис. 3 приведены экспериментально определенные зависимости добротности и шунтового сопротивления обеих систем от режима работы.

Из рис. 3, а следует, что наличие боковых зазоров не изменяет характера зависимости $Q(\Psi)$. Уменьшение добротности из-за боковых зазоров составляет при этом около 20%. Такое сравнительно небольшое изменение добротности объясняется тем, что в штыревых гребенках поле сосредоточено, главным образом, в области штырей.

Из рис. 3, б следует, что как в случае полностью заэкранированной структуры, так и при наличии боковых зазоров наиболее эффективный режим работы будет при $\Psi=2\pi/3$. Причем в этом режиме из-за наличия боковых зазоров шунтовое сопротивление уменьшилось на 40%.

Наиболее сложным при изготовлении ускоряющей системы на основе двухрядных штыревых гребенок будет обеспечение строгой параллельности (относительно пучка) большого количества штырей.

На рис. 4 приведены результаты экспериментального исследования влияния непараллельности установки штырей в полностью заэкранированной двухрядной гребенке на ее резонансные свойства.

В обозначениях работы [2] системы имели размеры: а) $h = 16 \text{ мм}$, $g = 14 \text{ мм}$, $a = 20 \text{ мм}$, $v = 10 \text{ мм}$, $w = 10 \text{ мм}$, $q = 30 \text{ мм}$, $p = 40 \text{ мм}$, $\Psi = 2\pi/3$; б) $h = 16 \text{ мм}$, $g = 14 \text{ мм}$, $a = 30 \text{ мм}$, $w = 15 \text{ мм}$, $v = 10 \text{ мм}$, $q = 20 \text{ мм}$, $p = 40 \text{ мм}$, $\Psi = 2\pi/3$. В случае квадратных штырей ($10 \times 10 \text{ мм}$) (рис. 4, а) сдвиг резонансной частоты

при повороте штырей вокруг своей оси

сравнительно небольшой, менее 10 МГц . Зато у вытянутых штырей соперечным сечением $10 \times 20 \text{ мм}$ (рис. 4, б) наблюдаются значительно большие сдвиги резонансной частоты при повороте всех штырей вокруг своей оси. Следовательно, в последнем случае ускоряющая система должна изготавливаться по более высокому классу точности, т. е. с более жесткими допусками.

Шунтовое сопротивление в случае квадратных штырей практически не изменялось, а в случае вытянутых штырей при повороте их на 90° (т. е. стало $a = 10 \text{ мм}$, $v = 20 \text{ мм}$, $q = 30 \text{ мм}$) изменилось на 30%.

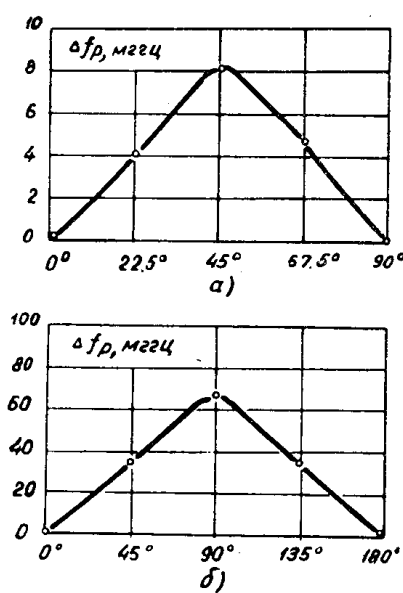


Рис. 4. Сдвиг резонансной частоты в гребенчатой структуре из-за непараллельности штырей (относительно пучка).

ЛИТЕРАТУРА

- П. И. Госков. Изв. ТПИ, наст. сборник, Т. 156, 166, 1969.
- П. И. Госков. Изв. вузов, «Физика», 3, 61, 1965.
- Л. Н. Безматерных. Диссертация, ТПИ, Томск, 1964.